

01;03

Устойчивость во внешнем электростатическом поле пузыря в диэлектрической жидкости

© А.И. Григорьев, А.Н. Жаров, С.О. Ширяева

Ярославский государственный университет,
150000 Ярославль, Россия

(Поступило в Редакцию 29 апреля 1998 г.)

Найдены критические условия неустойчивости во внешнем однородном электростатическом поле напряженностью E_0 газового пузырька в жидком диэлектрике. Показано, что они зависят как от величины E_0 и свойств жидкости, так и от давления газа в пузыре. В линейном приближении по квадрату эксцентриситета равновесной сфероидальной формы равновесный эксцентриситет пузыря превышает равновесный эксцентриситет капли в поле E_0 . Наличие газового давления в пузыре приводит к снижению критической для реализации неустойчивости пузыря напряженности поля E_0 .

1. Задача о неустойчивости газового пузыря в однородном электростатическом поле E_0 представляет интерес в связи с изучением электрического пробоя жидких диэлектриков, поскольку в момент пробоя у катода образуется область пониженной плотности среды, которая расценивается как появление газового (парового) микропузырька [1,2]. Несмотря на то что задача о неустойчивости пузыря имеет важное техническое приложение, выполнено лишь несколько исследований по изучению поведения пузырей в электрическом поле, в то время как работ, посвященных сходной проблеме неустойчивости в E_0 жидких капель, выполнено много [3].

Классической работой по описанию состояний жидкой капли во внешнем электростатическом поле, результаты которой могут быть использованы при изучении пузырей с учетом проводимостей среды и капли, является [4]. В [4] на основе предположения о сфероидальной равновесной в E_0 форме капли и принципа минимизации потенциальной энергии исследованы формы капель, имеющих конечную проводимость и диэлектрическую проницаемость, когда внешняя среда является проводящей. В [4] в зависимости от соотношения физических свойств капли и окружающей среды проанализировано несколько различных сценариев поведения капли: а) капля и среда — абсолютные диэлектрики; б) проводящая капля в диэлектрической среде; в) диэлектрическая капля в проводящей среде; г) нулевая деформация сфероидальной капли в E_0 ; д) деформация капли к форме сплюснутого сфероида. За работой [4] последовали работы [5] и [6], в которых более детально исследованы отдельные ситуации, выделенные в [4].

Случай диэлектрической капли и пузыря в диэлектрической среде подробно экспериментально и теоретически исследован в работе [5], где экспериментальным путем были получены зависимости деформаций от величины E_0 для газового пузыря в гидрокарбонном масле и водной капли в силиконовом масле. Было выяснено, что пузырь растягивается неограниченно, а капля претерпевает неустойчивость с эмиссией большого количества дочерних капелек. Кроме того, в [5] показано, что форма капли в E_0

может быть принята сфероидальной с достаточно хорошей точностью. На основе метода равенства давлений на полюсе и экваторе капли и метода минимизации энергии состояния было показано, что жидкие диэлектрические капли могут стать неустойчивыми, только если диэлектрическая проницаемость капли в 20 раз превосходит проницаемость окружающей жидкости. Это условие с запасом выполняется для капли хорошо проводящей жидкости (например воды) в вакууме. Этот случай был подробно теоретически исследован [6]. На основе метода баланса давлений во всех точках равновесной поверхности (в точке полюса и на линии экватора) сфероидальной идеально проводящей капли были определены зависимости величин деформации капли от напряженности внешнего электрического поля E_0 . Выяснилось, что идеально проводящая капля становится неустойчивой при определенном критическом значении напряженности поля E_0 .

Поскольку, согласно [5], газовый пузырь, помещенный в жидкий диэлектрик, является устойчивым для любого значения E_0 (в силу того, что диэлектрическая проницаемость газов мала), то в [7] была предпринята попытка трактовки возможной неустойчивости пузыря в E_0 на основе представлений о сжимаемости газа. На основе предположения о сфероидальности равновесной в E_0 формы пузыря при использовании требования равенства термодинамических потенциалов системы, и на основе принципа минимизации энергии равновесного состояния в [7] исследовано поведение парового пузыря в диэлектрической жидкости. Результаты упомянутых теоретических и экспериментальных исследований были подтверждены численными расчетами работы [8].

В [8] на основе численных решений уравнений электродинамики и гидродинамики получены формы жидких капель при различных значениях отношения проводимостей λ и диэлектрических проницаемостей α капли и окружающей среды; определены области значений λ и α , в которых возможны различные типы неустойчивостей. В [8] выделены два типа неустойчивости: стекание с острых концов родительской капли мелких дочерних

капелек и деление капли на две. Для каждой пары значений λ и α определен возможный тип неустойчивости. Неустойчивость, оканчивающаяся сбросом мелких капель, наблюдалась для диэлектрических жидкостей в случае, если проницаемость жидкости капли в 19–21 раз превосходила проницаемость окружающей среды или в случае проводящих жидкостей, если проводимость капли была в 28–29 (значение приведено для жидкостей с одинаковыми диэлектрическими проницаемостями) раз больше, чем проводимость среды. Выяснилось также, что неустойчивость, связанная с разрывом капли на две части, возможна только для проводящих жидкостей.

Из анализа вышеупомянутых работ следует, что пузырь, отличающийся от капли в основном наличием газового давления и величиной коэффициента сжимаемости, может стать неустойчивым только в случае хорошей проводимости заполняющего его газа или стенок пузыря. Если пузырь находится в абсолютном диэлектрике, он может претерпеть неустойчивость, только если газ в пузыре является хорошо проводящим, что может быть связано, например, с его ионизацией. Если газовый пузырь находится в жидкости, обладающей хотя бы слабой проводимостью, то возможно оседание на стенках пузыря носителей заряда из жидкости. В этом случае хорошая проводимость может быть связана с высокой поверхностной подвижностью носителей заряда по сравнению с объемной. В нижеследующем изложении для выяснения условий устойчивости пузыря в жидкости мы ограничимся рассмотрением идеализированной модели пузыря с идеально проводящими стенками в абсолютном диэлектрике.

2. Примем, что жидкий диэлектрик с диэлектрической проницаемостью ϵ имеет свободную поверхность, находящуюся под действием атмосферного давления P_{at} . Рассмотрим изначально сферический пузырь радиуса R_0 с идеально проводящей поверхностью в диэлектрике. Будем считать, что пузырь неподвижен, т.е. сила Архимеда уравновешена либо инерционной силой (что может быть в ротационной установке [5]), либо это может быть сила, возникающая за счет разности температур между верхними слоями жидкости и нижними [9]. Для равновесного сферического пузыря должно выполняться условие баланса давлений на его стенках

$$P_0 = P_{at} + 2\sigma/R_0, \quad (1)$$

σ — коэффициент поверхностного натяжения границы раздела фаз, P_0 — давление газа в пузыре.

После создания в диэлектрике электрического поля \mathbf{E}_0 пузырь вытянется вдоль \mathbf{E}_0 , принимая форму, близкую к сфероиду вращения [5–7], уравнение которого в сферической системе координат с началом в центре капли имеет вид

$$F(r, \Theta) = r - R \frac{(1 - e^2)^{1/2}}{(1 - e^2 \cos^2 \Theta)^{1/2}} \equiv r - R\eta(\Theta).$$

Зададимся вопросом, изменяется ли давление, температура и объем газа в пузыре при вытягивании. Примем,

что скорость растворения газа, заполняющего пузырь, в диэлектрике настолько мала, что его массу во время деформации в поле \mathbf{E}_0 можно считать постоянной. С молекулярной точки зрения давление газа на границу пузыря определяется только концентрацией частиц газа n и его температурой T

$$P = nkT,$$

k — константа Больцмана.

Рассмотрим условия равновесия точек на линии экватора. Поскольку давление электрического поля для этих точек равно нулю, то условие равновесия легко записывается

$$P = P_{at} + 2\sigma H, \quad (2)$$

где H — гауссова кривизна в этой точке

$$2H = \operatorname{div} \left(\frac{\operatorname{grad} F(r, \Theta)}{|\operatorname{grad} F(r, \Theta)|} \right). \quad (3)$$

Для точки, расположенной на экваторе, гауссова кривизна в линейном приближении по e^2 дается выражением [10]

$$H = \frac{1}{R_0} \left(1 - \frac{e^2}{3} \right). \quad (3a)$$

Предположим теперь, что напряженность электрического поля увеличилась на бесконечно малую величину, что повлекло за собой бесконечно малое увеличение эксцентриситета пузыря. Из (3a) следует, что для сферического пузыря $H < 1/R_0$, тогда, сравнивая (1) и (2), несложно видеть, что $P < P_0$, т.е. давление газа в пузыре уменьшается. С молекулярной точки зрения уменьшение давления возможно либо за счет увеличения объема, либо за счет уменьшения температуры. Поскольку полная теплоемкость газа в пузыре много меньше теплоемкости всего жидкого диэлектрика, то естественно считать, что процесс деформации пузыря в поле \mathbf{E}_0 изотермический и температура газа не меняется. Таким образом, пузырь, имеющий хорошо проводящие стенки, под действием внешнего электрического поля не только вытягивается в сфероид вращения в направлении \mathbf{E}_0 , но и увеличивает свой объем.

В процессе изменения формы и объема пузыря происходит изменение энергии системы, которую в данных условиях нужно рассматривать как функцию радиуса равновеликого сферического пузыря R (объема пузыря) и квадрата эксцентриситета e^2 . Потенциальная энергия пузыря определяется суммой поверхностной и электрической энергии, плюс работа, совершенная над системой внешними силами при расширении пузыря. Энергия сил поверхностного натяжения определится выражением [10]

$$U_\sigma = 2\pi\sigma R^2 (1 - e^2)^{1/6} \left((1 - e^2)^{1/2} + \frac{\arcsin e}{e} \right). \quad (4)$$

Электрическая энергия для пузыря, вытянутого в направлении внешнего поля \mathbf{E}_0 , имеет вид [10]

$$U_E = -\frac{1}{2} \frac{\varepsilon E_0^2 R^3}{3} \frac{e^3}{(1-e^2)(\operatorname{ar}th e - e)}. \quad (5)$$

Изменение внутренней энергии системы в результате совершения работы при изотермическом расширении газа известно [11,12]

$$U_g = -NkT \ln \frac{V}{V_0} + P_{\text{at}}(V - V_0), \quad (6)$$

где N — число молекул газа в пузыре, V_0 — начальный объем пузыря.

Изменение энергии системы в процессе вытягивания с учетом выражения (6) и разложения выражений (4) и (5) в ряд по квадрату эксцентриситета запишется в виде

$$\Delta U = 4\pi\sigma R^2 \left(1 + \frac{2}{45}e^4\right) - \frac{\varepsilon E_0^2 R^3}{2} \left(1 + \frac{2}{5}e^2 + \frac{58}{175}e^4\right) - NkT \ln \frac{V}{V_0} + P_{\text{at}}(V - V_0) - 4\pi\sigma R_0^2 + \frac{\varepsilon E_0^2 R_0^3}{2}. \quad (7)$$

Приравнявая нулю производные от изменения энергии (7) по квадрату эксцентриситета e^2 и по радиусу пузыря R , получим систему двух уравнений для неизвестных величин e^2 и R , соответствующих равновесной сфероидальной форме пузыря [13],

$$e^2 = 9 \frac{\varepsilon E_0^2 R}{16\sigma\pi} \equiv \frac{9}{16\pi} w,$$

$$1 - 3 \frac{\varepsilon E_0^2 R}{16\sigma\pi} - (P - P_{\text{at}})R/2\sigma \equiv \beta - 1 + \frac{3}{16\pi} w = 0, \quad (8)$$

где $w = (\varepsilon E_0^2 R)/\sigma$; $\beta = \{(P - P_{\text{at}})R\}/2\sigma$.

Таким образом, в отличие от капли, равновесный эксцентриситет которой зависит только от w [4,10], устойчивое состояние пузыря определяется двумя уравнениями, что связано с непостоянством объема пузыря при его деформации в поле \mathbf{E}_0 .

3. Проанализируем систему уравнений (8), считая, что в процессе деформации объем пузыря увеличивается таким образом, что радиус равновеликого сферического пузыря увеличивается в $(K + 1)$ раз,

$$R = R_0(1 + K). \quad (9)$$

Воспользовавшись условием изотермичности и равенством (9), выразим конечное давление газа в пузыре через начальное

$$P = \frac{P_0}{(1 + K)^3}. \quad (10)$$

Учтем, что начальное давление в пузыре превосходит атмосферное в μ раз, т. е.

$$P_0 = \mu P_{\text{at}}. \quad (11)$$

Подставляя (11) в (1), найдем μ

$$\mu = 1 + \frac{2\sigma}{P_{\text{at}}R_0}. \quad (12)$$

С учетом (9), (10) и (11) второе уравнение системы (8) приведем к виду

$$1 - \frac{e^2}{3} - \left(\frac{\mu}{(1 + K)^3} - 1\right) \frac{P_{\text{at}}R_0}{2\sigma}(1 + K) = 0. \quad (13)$$

Воспользовавшись соотношением (12), перепишем (13)

$$1 - \frac{e^2}{3} - \left(\frac{\mu}{(1 + K)^3} - 1\right) \frac{1}{\mu - 1}(1 + K) = 0. \quad (14)$$

Считая величину относительного увеличения радиуса K малой, в линейном приближении по K и по e^2 из (14) получим

$$K = \frac{\mu - 1}{2\mu + 1} \frac{e^2}{3}, \quad (15)$$

т. е. K является величиной того же порядка малости, что и e^2 . Подставляя (9) в первое уравнение системы (8) с учетом (15), получаем выражение для квадрата равновесного эксцентриситета пузыря

$$e^2 = \frac{9w}{16\pi} \left(1 + \frac{9w}{48\pi} \frac{\mu - 1}{2\mu + 1}\right), \quad (16)$$

где $w = (\varepsilon E_0^2 R_0)/\sigma$ — параметр Тейлора для пузыря.

Из (16) следует, что учет газового давления в пузыре приводит к появлению зависимости его равновесного эксцентриситета от начального давления газа. В связи с этим интересно рассмотреть влияние газового давления на критические условия неустойчивости газового пузыря в электрическом поле \mathbf{E}_0 .

4. Расчет проведем методом, основанным на приравнивании давлений в точке полюса и на линии экватора, подробно описанным в [6].

Из выражения (3) найдем капиллярное давление на полюсе и на экваторе сфероидального пузыря

$$P_{\sigma}^{eq} = \frac{\sigma(1 - e^2)^{5/6}}{R_0(1 + K)} \left(1 + \frac{1}{(1 - e^2)}\right),$$

$$P_{\sigma}^p = \frac{2\sigma}{R_0(1 + K)(1 - e^2)^{2/3}}. \quad (17)$$

Используя выражение для напряженности электростатического поля у поверхности сфероидального пузыря [14]

$$\mathbf{E} = \mathbf{E}_0 \frac{e^3}{(1 - e^2)^{1/2}(\operatorname{ar}th e - e)} \frac{\eta(\Theta) \cos \Theta}{(1 - e^2 \eta^2(\Theta) \cos^2 \Theta)^{1/2}},$$

легко найти выражения для давления электрического поля в том же геометрическом месте точек пузыря

$$P_E^{eq} = 0, \quad P_E^p = \frac{\varepsilon E_0^2 e^6}{8\pi(1-e^2)^2(\operatorname{arthe} - e)^2}. \quad (18)$$

Учитывая (18), (17) и (10) запишем условия равенства давлений на экваторе и полюсе

$$\frac{\mu P_{at}}{(1+K)^3} - \frac{\sigma(1-e^2)^{5/6}}{R_0(1+K)} \left(1 + \frac{1}{(1-e^2)}\right) - P_{at} = 0, \quad (19)$$

$$\frac{\mu P_{at}}{(1+K)^3} + \frac{\varepsilon E_0^2 e^6}{8\pi(1-e^2)^2(\operatorname{arthe} - e)^2} - \frac{2\sigma}{R_0(1+K)(1-e^2)^{2/3}} - P_{at} = 0. \quad (20)$$

Вычитая (19) из (20) и воспользовавшись (12), получаем систему уравнений относительно неизвестных K и e^2 , из которой могут быть найдены критические условия неустойчивости для незаряженного пузыря с хорошо проводящими стенками во внешнем однородном электростатическом поле \mathbf{E}_0 :

$$\frac{we^6}{16\pi(1-e^2)^2(\operatorname{arth}(e) - e)^2} = \frac{1}{(1+K)} \times \left\{ \frac{1}{(1-e^2)^{2/3}} - \frac{(1-e^2)^{5/6}}{2} \left[1 + \frac{1}{(1-e^2)}\right] \right\}, \quad (21)$$

$$\mu - (1+K)^3 - \frac{(\mu-1)(1+K)^2(1-e^2)^{5/6}}{2} \times [1 + (1-e^2)^{-1}] = 0. \quad (22)$$

Уравнения (21) и (22) при заданном параметре μ определяют зависимости квадрата эксцентриситета пузыря e^2 и относительного изменения его радиуса K от величины параметра Тейлора w .

Для анализа системы уравнений (21), (22) были проведены численные расчеты и построены зависимости величины квадрата эксцентриситета пузыря e^2 и величины K от параметра Тейлора w для различных значений μ . Эти зависимости приведены на рис. 1, *a* и *b*. Видно, что увеличение начального внутреннего давления в пузыре при фиксированном значении w приводит к увеличению равновесного эксцентриситета пузыря. Также видно, что в некоторой точке, соответствующей максимальному значению w , производная $\partial e^2 / \partial w$ становится бесконечной. Согласно [5,6], при достижении параметром Тейлора этого критического значения $w = w_*$ пузырь становится неустойчивым. Таким образом, система уравнений (21) и (22) при заданном μ имеет единственное решение, отвечающее критическому значению параметра Тейлора w_* , разделяющему устойчивые и неустойчивые состояния пузыря.

Зависимости критического значения параметра Тейлора w_* и критического значения квадрата эксцентриситета

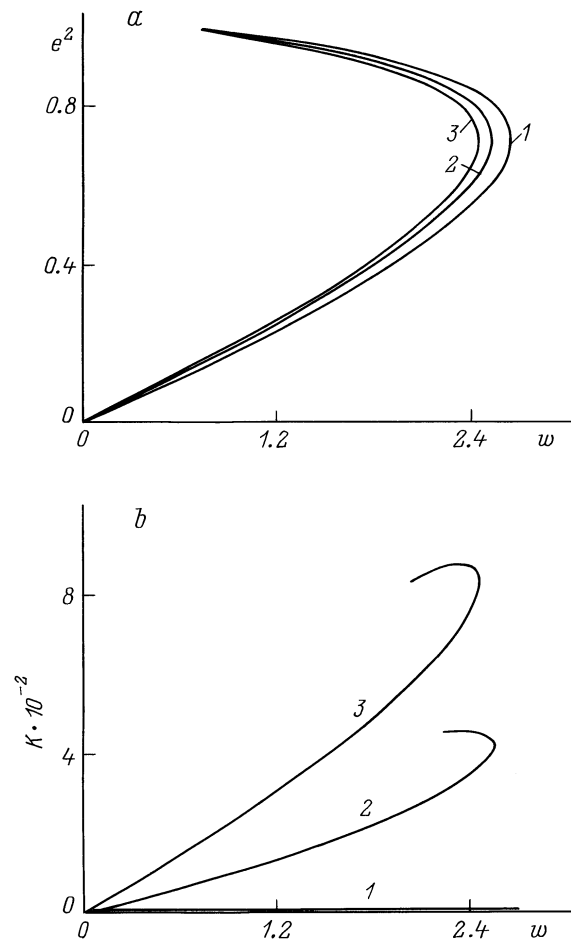


Рис. 1. Зависимости квадрата эксцентриситета пузыря (*a*) и относительного изменения радиуса пузыря (*b*) от параметра Тейлора при $\mu = 1.1$ (1), 2 (2), 5 (3).

пузыря e_*^2 от параметра μ , характеризующего давление в пузыре до вытягивания, представлены на рис. 2, *a* и *b*. Видно, что увеличение начального давления газа μ приводит к заметному уменьшению критического значения параметра Тейлора w_* , но весьма незначительно влияет на критическое значение квадрата эксцентриситета пузыря e_*^2 .

На рис. 2, *b* приведены также зависимости величин $\gamma_* = P_*/P_{at}$ и $\beta_* = (P_* - P_{at})R_0/(2\sigma)$ в момент неустойчивости от параметра μ , характеризующего начальное давление в пузыре.

5. Выясним, как влияет величина сжимаемости газа χ на критическое значение параметра Тейлора и на равновесное значение квадрата эксцентриситета пузыря. Будем считать, что давление газа в пузыре определяется вместо уравнения (10), справедливого только для идеального газа, уравнением

$$P = P_0 - \frac{1}{\chi} ((1+K)^3 - 1). \quad (23)$$

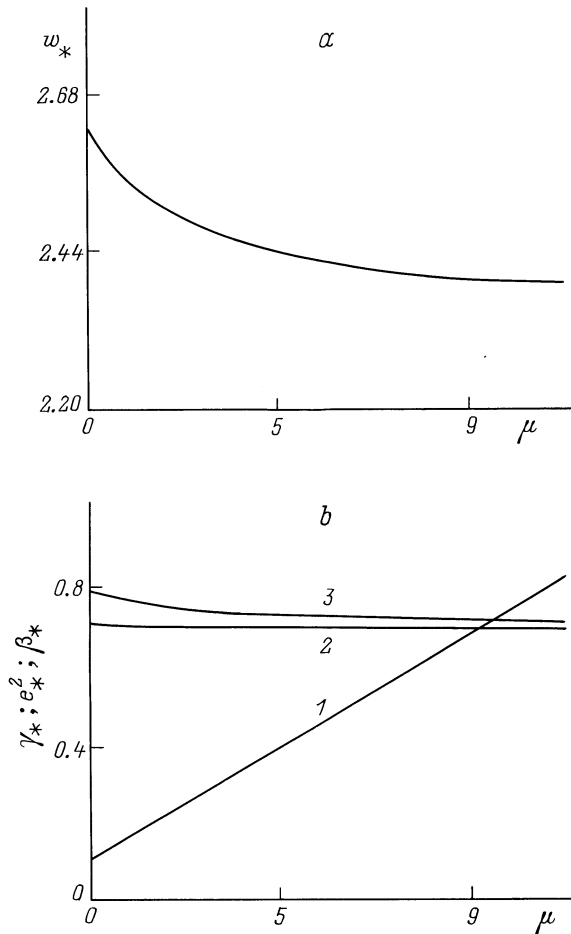


Рис. 2. Зависимость критического значения параметра Тейлора от безразмерного начального давления газа в пузыре (*a*), а также зависимости критических значений безразмерного давления газа (1), квадрата эксцентриситета (2), параметра β_* (3) от безразмерного начального давления газа в пузыре (*b*).

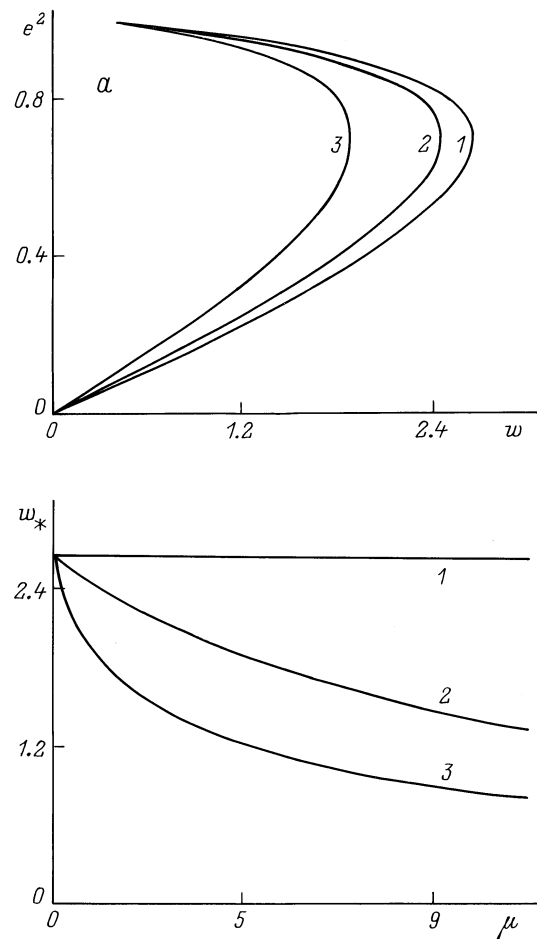


Рис. 3. Зависимости квадрата эксцентриситета от параметра Тейлора при $\mu = 2$ (*a*) и критического значения параметра Тейлора от безразмерного начального давления в пузыре (*b*): 1 — капля жидкости при $\chi P_{at} = 10^{-4}$; 2, 3 — газовый пузырь при $\chi P_{at} = 1$ и 4 соответственно.

Выбирая различные значения χ , можно получить различные частные случаи жидкой капли $\chi = 10^{-4} \text{ atm}^{-1}$, пузыря реального газа $\chi = 1 \text{ atm}^{-1}$, пузыря идеального газа $\chi = (1 + K)^3 / P_0$.

Если провести расчет, подобный расчету в разделе 4, с использованием выражения (23), то получим два уравнения для определения зависимостей величин K и e^2 от параметра Тейлора w . Первое уравнение опять имеет вид (21), а вместо (22) получаем

$$\left[\mu - 1 + \frac{1}{\chi P_{at}} \right] (1 + K) - \frac{(1 + K)^4}{\chi P_{at}} - \frac{(\mu - 1)(1 - e^2)^{5/6}}{2} \left[1 + \frac{1}{(1 - e^2)} \right] = 0. \quad (24)$$

Уравнение (24) — для идеального газа, т.е. при $\chi = (1 + K)^3 / \mu P_{at}$ переходит в (22).

Расчеты по уравнениям (24) и (21) представлены на рис. 3, *a, b*. Из рис. 3, *a* видно, что увеличение

коэффициента изотермической сжимаемости χ при фиксированном параметре Тейлора w и начальном газовом давлении μ приводит к увеличению квадрата эксцентриситета пузыря e^2 . Зависимость квадрата эксцентриситета e^2 от параметра Тейлора w имеет точку, в которой производная $\partial e^2 / \partial w$ становится бесконечной. Это позволяет определить критическое значение параметра Тейлора w_* . Зависимости w_* от начального давления в пузыре представлены на рис. 3, *b*. Видно, что увеличение коэффициента изотермической сжимаемости приводит к снижению w_* .

Отметим, что влияние коэффициента сжимаемости и внутреннего давления на величину равновесного эксцентриситета пузыря и на критическое значение параметра Тейлора w_* существенно, когда начальный радиус пузыря меньше некоторого характерного R_*

$$R_0 \leq R_* = 2\sigma / P_{at}.$$

Заключение

Увеличение объема газового пузыря при его деформации в однородном электростатическом поле E_0 приводит к появлению зависимости критического значения параметра Тейлора w_* и равновесного эксцентриситета пузыря e^2 от газового давления μ . Увеличение начального газового давления μ приводит к уменьшению w_* и увеличению e^2 . Кроме того, величина критического значения параметра Тейлора w_* и равновесного эксцентриситета пузыря e^2 зависят от величины изотермического коэффициента сжимаемости χ .

Список литературы

- [1] Глазков В.В., Синкевич О.А., Смирнов П.В. // ТВТ. 1991. Т. 29. № 6. С. 1095–1102.
- [2] Пылаева И.В., Синкевич О.А., Смирнов П.В. // ТВТ. 1992. Т. 30. № 2. С. 367–371.
- [3] Григорьев А.И., Ширяева С.О. // Изв. РАН. МЖГ. 1994. № 3. С. 2–28.
- [4] O'Konski Ch.T., Harris F.E. // J. Phys. Chem. 1957. Vol. 61. N 9. P. 1172–1174.
- [5] Garton C.G., Krasucki Z. // Trans. Faraday Soc. 1964. Vol. 60. P. 211–226.
- [6] Taylor F.R.S. // Proc. Roy. Soc. A. 1964. Vol. 280. P. 383–397.
- [7] Cheng K.J., Chaddock J.B. // Phys. Lett. 1984. Vol. 106 A. N 1, 2. P. 51–53.
- [8] Sherwood J.D. // J. Fluid Mech. 1988. Vol. 188. P. 133–146.
- [9] Гегузин Я.Е. Пузыри. М.: Наука, 1985. 174 с.
- [10] Григорьев А.И., Ширяева С.О., Белавина Е.И. // ЖТФ. 1989. Т. 59. Вып. 6. С. 27–34.
- [11] Ландау Л.Д., Лифшиц Е.М. Статистическая физика. М.: Наука, 1964. 567 с.
- [12] Григорьев А.И., Коромыслов В.А., Жаров А.Н. // Письма в ЖТФ. 1997. Т. 23. Вып. 19. С. 60–65.
- [13] Ширяева С.О., Григорьев А.И. // ЖТФ. 1995. Т. 65. Вып. 2. С. 11–21.
- [14] Ландау Л.Д., Лифшиц Е.М. Электродинамика сплошных сред. М.: Наука. 1982. 620 с.